

京都大学 正員 小林 昭一

## 1. 考え方

Griffith が脆性破壊は材料内に潜在する初期欠陥周辺の応力集中に基く応力が、材料固有の引張強度に著しくなったときに生じるという仮説を提唱して以来、破壊の発生機構と伝播過程に関する、種々の力学モデルに基づいて数多くの理論が提案され、また基礎的なモデル実験が試みられて来た。これらの理論ならびに実験は主として引張応力場を対象としたものであり、岩石とかコンクリートなど、いわゆる岩質材料の場合に重要な圧縮破壊に対して適用した例は多くはない。この原因は、岩質材料は一般に等方均質と考えられない場合が多く、また後りに等方均質と仮定できても圧縮域と引張域での応力-歪曲線には差異があり、等方均質線形弾性理論を適用するには強い制限があること、さらには、引張域での破壊は主として比較的簡単な引張不安定破壊の伝播の結果生じるのに反して、圧縮域での破壊は局部的な不安定破壊だけでは完遂せず、対象とする系全体が遂次破壊伝播の結果不安定となることはじめて生じるものであり、系全体としての安定性と「複雑な問題とも同時に考えなければならぬ」とあるであろう。しかしながら、圧縮破壊の問題は岩質材料の破壊の中でも課題であり、回避することできまい最も本質的な問題であり、いろいろな角度からの根本的な検討が望される。

本稿は、脆性破壊の発生の機構と伝播過程を完明することを意図して進行中の実験の一部であり、今回等方均質 matrix 内に单一なる微小の notch および inclusion を含む簡単なモデルに基づいて、特に圧縮域での破壊発生の機構および伝播過程を検討したものである。

## 2. 亀裂の発生条件と発生方向

Griffith に従って、2 次元等方均質弾性体内に梢円クラックを想定しよう(図-1)。梢円座標系  $(u, v)$  と直交直線座標系  $(x, y)$  との間に次のような関係がある。

$$x = c \cosh u \cos v, \quad y = c \sinh u \sin v \quad \cdots \cdots (1)$$

無限遠から一様応力  $\sigma_1$  および  $\sigma_3$  ( $\sigma_3 > \sigma_1$ , 圧縮を正とする) が作用している場合の梢円境界上の応力は次式で与えられる。

$$\sigma = \frac{2\pi r(\sigma_1 + \sigma_3) + (\sigma_3 - \sigma_1)[((1+\lambda)^2 \cosh 2v - (1-\lambda^2)) \cosh 2\theta + (1-\lambda^2)^2 \sinh 2\theta \sin 2v]}{1 + \lambda^2 - (1-\lambda^2) \cosh 2v} \quad \cdots \cdots (2)$$

$$\text{ここで } \lambda = \frac{b}{a} \text{ である。}$$

与えられた傾き  $\theta$  に対して、最大引張応力を生じる位置は、 $d\sigma/dv = 0$  から求められ、簡単な計算の結果次のようになる。

$$v = \frac{1}{2} \cos^{-1} \left[ \frac{A \tan^2 2\theta \pm (C - \frac{\sigma_3^2}{\cosh 2\theta}) \sqrt{D \tan^2 2\theta + (C - \frac{\sigma_3^2}{\cosh 2\theta})^2}}{B \tan^2 2\theta + (C - \frac{\sigma_3^2}{\cosh 2\theta})^2} \right] \quad \cdots \cdots (3)$$

ここで、係数  $A, B, C, D$  は次のように与えられる。

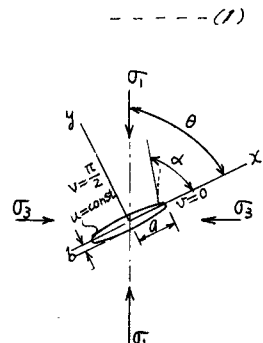


図-1

$$A = \frac{(1+r)(1+r^2)}{(1-r)^3}, B = \frac{(1+r^2)^4}{(1-r)^4}, C = \frac{-2r}{(1-r)^2}, D = \frac{4r^2}{(1-r)^4}, \gamma = \frac{2r}{1-r^2}$$

$$S = \frac{\sqrt{1+\Omega_3}}{\Omega_3 - \Omega_1}$$

また、これまでに亀裂の発生方向  $\alpha$  は次のように与えられる。

$$\alpha = \cos^{-1} \left\{ \frac{1}{\sqrt{1+r^2 \tan^2 \nu}} \right\} \quad \cdots \cdots \cdots (4)$$

最大引張応力は、式(3)を式(2)に代入して求められる。

### 3. 実験結果

供試体は、

普通ボルトラ

ンドルメット

: 水: フライ

アツシユ = 1.0:

0.55: 1.0 鋼

合比の matrix

1: 塩化ビニ

ル (0.5 mm, 1.0 mm)

厚) を埋没、

ある。(は硬化

後抜き取って

作製した。

一軸圧縮に伴

なり亀裂の発

生応力をならび

に発生方向を

図-2, 3 に示す。

図中の曲線は、

式(2), (3), および

(4)から求めた

もとである。

他の実験結

果をさらに参考

する予定で

ある。

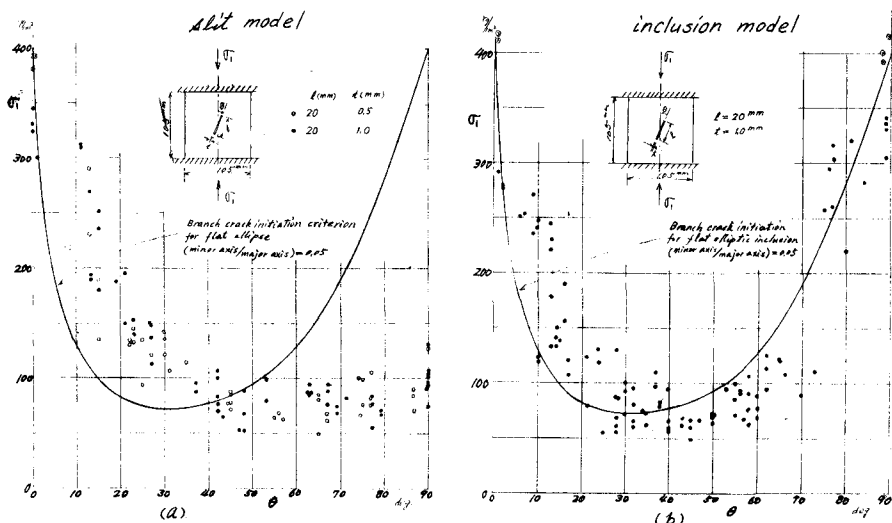


図-2

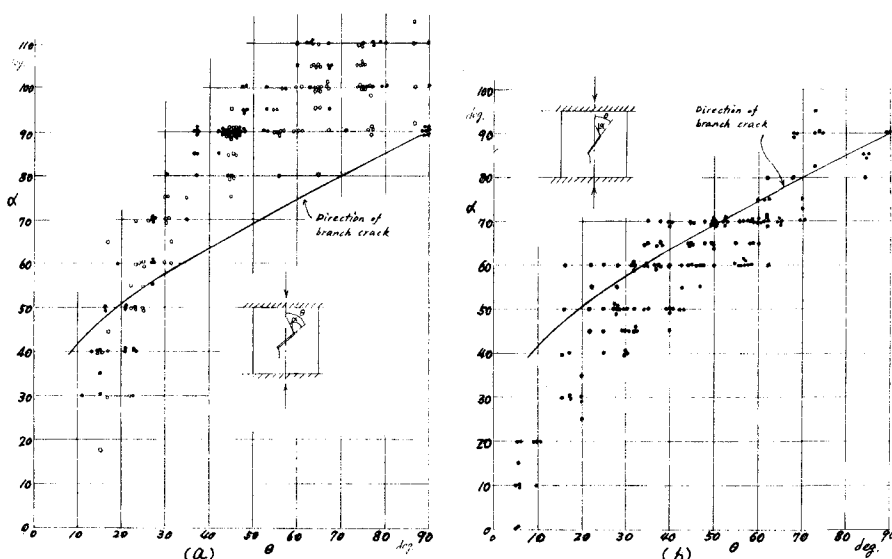


図-3